

(194) 低炭素鋼凝固材の $\gamma/\alpha$ 変態に及ぼす $\gamma$ 粒径の影響

住友金属工業(株) 総合技術研究所

長道常昭 ○金沢 敬  
前原泰裕 安元邦夫

## 1. 緒言

初析 $\alpha$ の生成挙動に及ぼす $\gamma$ 粒径の影響については、加熱材の細粒の範囲で調べられている<sup>1)</sup>が、粒径が数mmに達する凝固材<sup>2)</sup>に関しては不明である。また、連鉄材のように複雑な熱履歴を経た場合の $\alpha$ 析出は連続冷却時の変態( $Ar_3$ )とは異なってくると考えられる。そこで、凝固材の熱履歴を模擬して $\gamma/\alpha$ 変態に及ぼす $\gamma$ 粒径の影響を検討した。

## 2. 実験方法

高周波真空溶解炉で作成したTable 1の基本組成鋼または低合金鋼40gをアルミナるつぼに入れ、Ar雰囲気下で再溶解し、Fig.1の熱履歴で $Ar_1$ 以下に達するまでの冷却過程を微分回路を用いて熱分析した。一方、同一鋼の鍛造材の変態点を熱膨張法(フォーマスター)で求めた。

Fig.1の熱履歴のほか、高周波熱サイクル再現装置を用いて加熱・冷却繰り返し試験も行なった。

## 3. 実験結果

(1) 溶融・凝固した供試材の $Ar_3$ 点は温度の時間微分曲線の変化から読みとれる。変態開始直下で急冷した組織には、 $\gamma$ 粒界に沿った薄い初析 $\alpha$ が観察された(Photo.1)

(2) 凝固まま材の $Ar_3$ 点における $\gamma$ 粒径が1~4mm(Photo.1)であるのに対して、加熱材や $\gamma \rightarrow \alpha \rightarrow \gamma$ の変態経過材では200~500μmであった。

(3) 冷却速度 $0.4^{\circ}\text{C s}^{-1}$ のとき、加熱材の $Ar_3$ 点は $Ae_3$ <sup>3)</sup>より20~40°C低いが、凝固材の $Ar_3$ はそれよりさらに65~120°Cほど低くなる(Fig.2)。

(4) 凝固材でも $\gamma \rightarrow \alpha \rightarrow \gamma$ の変態を経た場合の $Ar_3$ は上昇して、鍛造材を加熱・冷却したときの $Ar_3$ に近くなる(Fig.2)。

(5) 上記(3), (4)の $Ar_3$ の変化は、供試材の熱履歴により決まる $\gamma$ 粒の大きさで説明できる。

## [参考文献]

- 牧 正志, 長道常昭, 阿部直樹, 田村今男: 鉄と鋼, 71(1985), p.1367
- 前原泰裕, 安元邦夫, 杉谷泰夫, 郡司好喜: 鉄と鋼, 71(1985), p.1534
- K.W.Andrews: JISI, 203(1965), p.721

Table I Chemical composition of the steels used (wt %)

Steel	C	Si	Mn	P	S	Al	Nb	V	Ti	Cu
① 0.005	0.0001	0.0004	0.0001	0.0001	—	—	—	—	—	—
Fe-C	② 0.096	—	—	—	—	—	—	—	—	—
base	③ 0.18	-0.01	0.01	0.02	0.002	0.03	—	—	—	—
Low alloy	⑦ 0.12	0.02	1.46	0.022	0.002	0.013	—	—	—	—
⑧ 0.10	0.03	1.44	0.021	0.002	0.001	0.039	0.04	—	—	—
⑨ 0.07	0.30	0.96	0.008	0.001	0.025	0.022	—	0.012	0.34	—

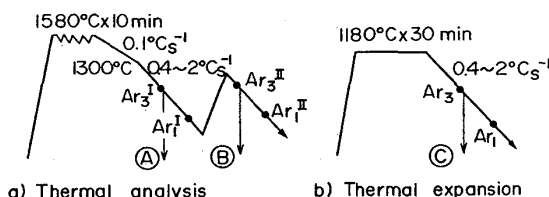


Fig. 1 Experimental procedure

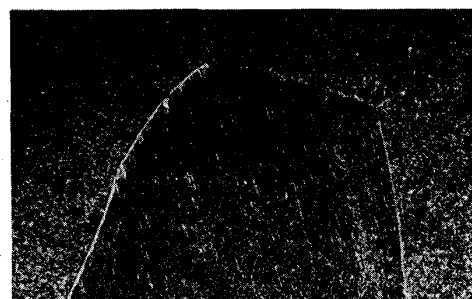


Photo 1 As-solidified  $\gamma$  grain structure, quenched at a measured  $Ar_3$ -7°C on cooling at  $0.5^{\circ}\text{C s}^{-1}$  from the liquid

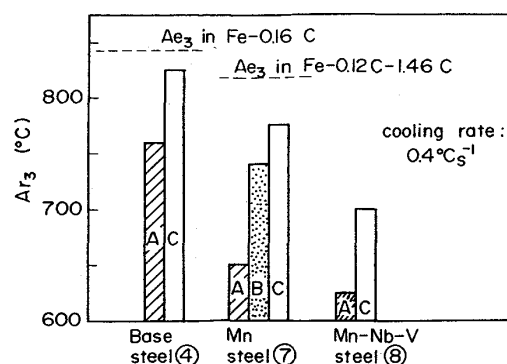


Fig. 2 Effect of thermal history on  $Ar_3$  in steels ④, ⑦ and ⑧. Thermal histories A, B and C are shown in Fig. 1